

## ВЛИЯНИЕ АНИЗОТРОПИИ ЭПИТАКСИАЛЬНЫХ ПЛЕНОК $\text{YBa}_2\text{Cu}_3\text{O}_x$ НА ТУННЕЛЬНЫЕ СВОЙСТВА КОНТАКТОВ $\text{YBa}_2\text{Cu}_3\text{O}_x$ -МЕТАЛЛ

Ю.М.Богуславский, Э.М.Руденко

Исследованы "планарные" и "краевые" туннельные контакты на основе эпитаксиальных пленок  $\text{YBa}_2\text{Cu}_3\text{O}_x$ . Различие и особенности ВАХ контактов связываются с анизотропией плотности состояний  $N(\epsilon)$  и наличием узкого пика  $N(\epsilon)$  вблизи уровня Ферми в плоскости Cu–O. Обнаружено изменение плотности состояний  $\text{YBa}_2\text{Cu}_3\text{O}_x$  при  $T \sim 30$  К.

Несмотря на проявление анизотропии электрических и магнитных свойств высокотемпературных сверхпроводников (ВТСП), вопрос о анизотропии энергетической щели и спектра квазичастичных возбуждений в металлооксидных соединениях остается открытым. При исследовании ВТСП туннельными и микроконтактными методами малые длины когерентности и наличие на поверхности несверхпроводящего слоя усложняет интерпретацию получаемых

вольтамперных характеристик (ВАХ). В большинстве работ по туннелированию в ВТСП использовались микроконтакты между иглой из металла и кристаллитами ВТСП. Однако при вдавливании иглы нарушается структура прибарьерной области кристаллов, что затрудняет выявление анизотропии свойств ВТСП данным методом<sup>1</sup>. Можно ожидать, что анизотропия свойств будет проявляться в пленочных контактах, лишенных вышеуказанного недостатка.

Нами были исследованы туннельные контакты  $\text{YBa}_2\text{Cu}_3\text{O}_x$ -металл ( $\text{Pb}$ ,  $\text{Pt}$ ,  $\text{In}$ ), образованные на эпитаксиальных пленках  $\text{YBa}_2\text{Cu}_3\text{O}_x$ . Пленки получены одностадийно высокочастотным распылением в кислороде на сколах  $\{100\}$   $\text{MgO}$  без дополнительной термообработки<sup>2</sup>. Используемые пленки имели  $T_c = 83 \text{ K}$ ,  $\Delta T_c = 5 - 7 \text{ K}$ . Параметр элементарной ячейки с пленок составлял  $1,17 - 1,175 \text{ нм}$ , вертикальная разориентировка зерен не превышала  $1 - 2^\circ$ . Верхний электрод напылялся через маску термическим испарением. Были сформированы контакты планарного типа, в которых ток протекал перпендикулярно  $\text{Cu}-\text{O}$ -слоям и краевого типа, с протеканием тока вдоль  $\text{Cu}-\text{O}$ -плоскостей. ВАХ обоих типов контактов асимметричны и соответствуют  $P$ -типу носителей заряда в ВТСП, определяемого по знаку выпрямляющего эффекта контакта<sup>3</sup>.

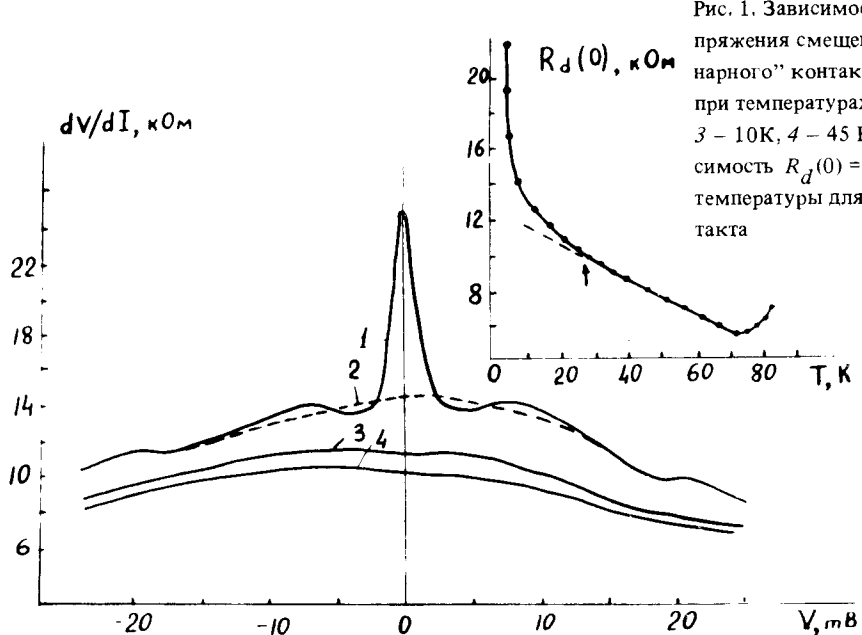


Рис. 1. Зависимость  $dV/dI$  от напряжения смещения для "планарного" контакта  $\text{YBa}_2\text{Cu}_3\text{O}_x-\text{Pb}$  при температурах: 1 – 4,2 К, 2 – 8 К, 3 – 10 К, 4 – 45 К. На вставке: зависимость  $R_d(0) = dV/dI(V = 0)$  от температуры для "планарного" контакта

На рис. 1 представлена зависимость  $R_d = dV/dI$  от напряжения смещения при различных температурах для планарного перехода  $\text{YBa}_2\text{Cu}_3\text{O}_x - \text{Pb}$ . Минимум при малых напряжениях связан, по-видимому, со щелевым максимумом плотности состояний  $\text{Pb}$ , т. к. не разрешается при температуре выше  $T_c(\text{Pb})$ . Минимум при  $V \sim 20 \text{ мВ}$  слабо зависит от температуры при  $T < 20 \text{ K}$  и отражает пик плотности состояний  $\text{YBa}_2\text{Cu}_3\text{O}_x$ . Увеличение сопротивления при нулевом смещении  $R_d(0)$  при понижении температуры (рис. 1, вставка) свидетельствует о туннельном механизме протекания тока в планарном контакте. Аналогичный вид имели контакты с сопротивлением  $R_d \sim 100 \text{ Ом} - 10 \text{ кОм}$  при  $V \sim 30 \text{ мВ}$  и верхним электродом из  $\text{Pt}$ ,  $\text{In}$ .

Отличительной особенностью  $R_d(V)$  краевых переходов  $\text{YBa}_2\text{Cu}_3\text{O}_x - \text{Pb}$  (рис. 2) является наличие минимума при  $V \rightarrow 0$ , существование которого обычно связывают с микрозакороткой. В нашем случае при понижении температуры ниже  $T_c(\text{Pb})$  наблюдается резкое возрастание  $R_d(0)$  (рис. 2, вставка) и превращение характеристики при  $T \ll T_c(\text{Pb})$  в типичную для  $S_1 - I - S_2$ -контакта. Таким образом, в данных контактах отсутствует микрозакоротка и ток протекает через туннельный барьер.

При  $T < T_c(\text{Pb})$  провал  $R_d(V)$  при малых напряжениях постепенно исчезает с понижением температуры (рис. 2, кривые 3 – 2 – 1), что связано с увеличением энергетической щели  $\Delta(T)/\text{Pb}$ . Такое поведение провала  $R_d(V)$ , наблюдавшегося на туннельных характеристиках, указывает на наличие узкого максимума плотности состояний ВТСП вблизи уровня Ферми ( $V = 0$ ). Различие  $R_d(V)$  краевых и планарных переходов можно связать с анизотропией плотности состояний относительно Cu – O-плоскостей.

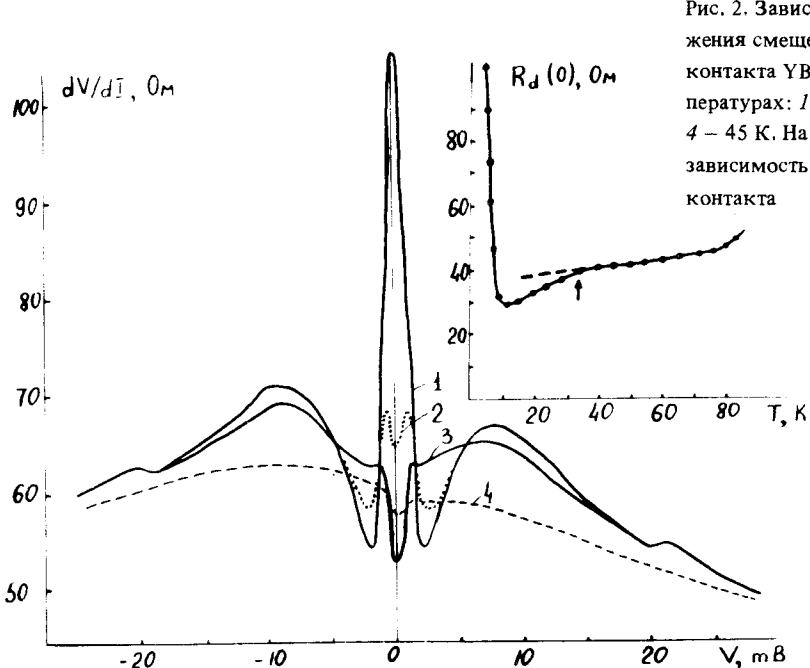


Рис. 2. Зависимость  $dV/dI$  от напряжения смещения для "краевого" контакта  $\text{YBa}_2\text{Cu}_3\text{O}_x - \text{Pb}$  при температурах: 1 – 4,2 К, 2 – 6 К, 3 – 10 К 4 – 45 К. На вставке: температурная зависимость  $R_d(0)$  для "краевого" контакта

Исследование температурной зависимости  $R_d(0)$  дает возможность определить характер изменения энергетических параметров сверхпроводника. Для планарных переходов  $R_d(0) = R_0$  возрастает при понижении температуры, в то время как для краевых переходов характерно уменьшение  $R_d(0)$ . При  $T < 30$  К резкое уменьшение  $R_d(0)$  для краевого перехода коррелирует с быстрым увеличением  $R_0(T)$  для планарного перехода. Немонотонное изменение  $R_0(T)$  было отмечено нами и на керамических образцах  $\text{YBa}_2\text{Cu}_3\text{O}_x$ <sup>3</sup>. Такие изменения  $R_0(T)$  для планарных и краевых контактов свидетельствуют о перестройке электронного спектра при  $T \sim 30$  К и существовании корреляций температурного изменения плотности состояний вдоль Cu – O-плоскостей и перпендикулярно им.

Вышеуказанные особенности спектра плотности состояний указывают на возможность реализации в ВТСП новых механизмов сверхпроводящего упорядочения.

Авторы выражают благодарность В.Г.Барьяхтару, В.М.Пану и И.П.Невирковцу за проявленный интерес к работе и полезные замечания, В.М.Мухортову за предоставление образцов.

#### Литература

1. Kirtley J.R. et al. In: Proc. Int. Conf. Low Temp. Phys. LT-18, Kyoto, 1987, p. 998.
2. Мухортов В.М. и др. Металлофизика, 1988, 10, 99.
3. Барьяхтар В.Г. и др. ФНТ, 1987, 13, 870.